

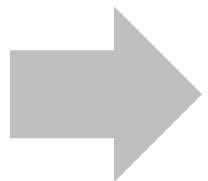
Casos de suplantación de identidad a partir de
datos biométricos robados o expuestos

**+1.000 millones de
afectados**

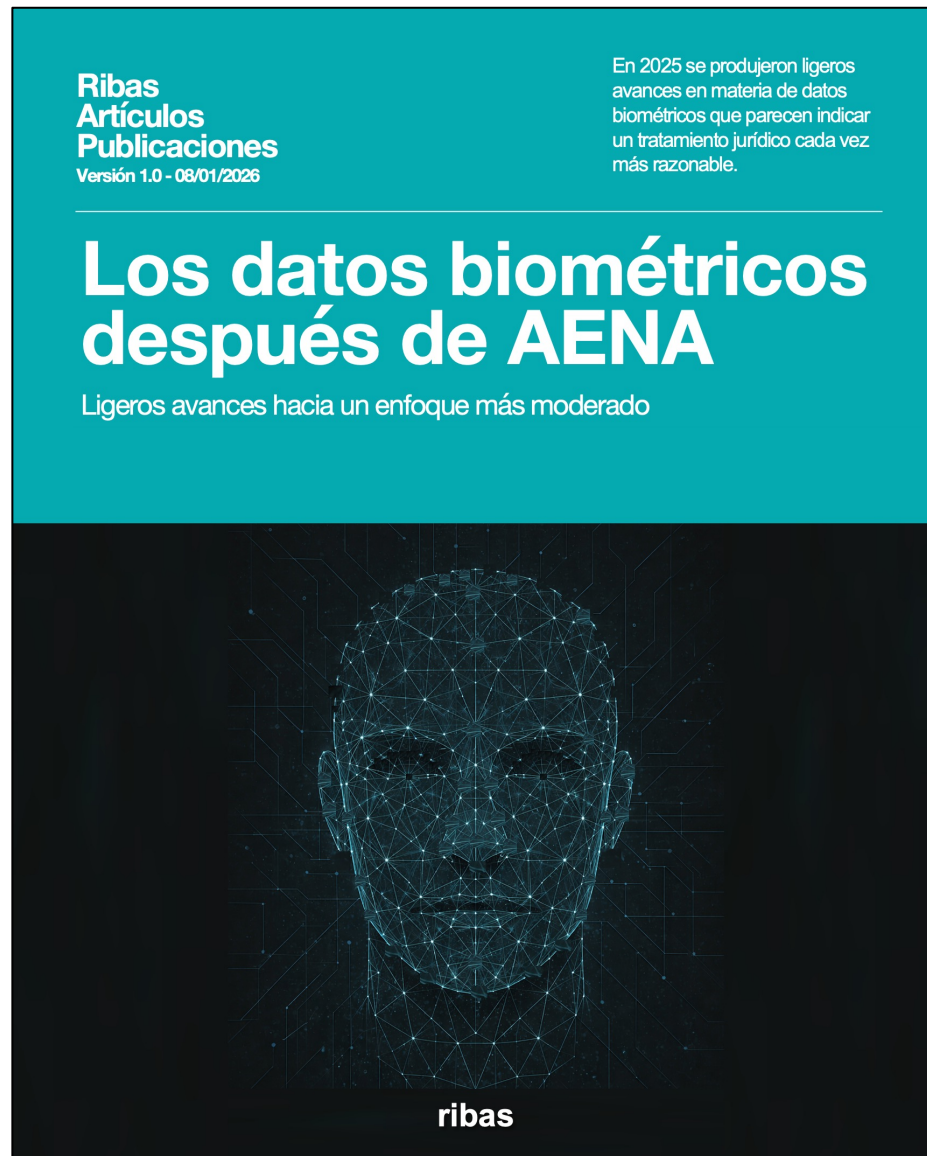
vs.

Cero denuncias

ribas



Informe completo



Accede al informe completo en este enlace:

<https://lnkd.in/eE2MaMJX>

Conclusión avanzada de este informe

La conclusión avanzada de este informe es que, a día de hoy, **no se ha encontrado una constancia documental, judicial ni técnica** de un caso de suplantación de identidad ejecutado con éxito mediante la reutilización de plantillas biométricas robadas a un responsable del tratamiento.

Brechas de datos biométricos más importantes

En esta tabla pueden verse los incidentes de seguridad más graves con afectación de datos biométricos y el contraste del carácter masivo del incidente con la ausencia total de quejas y denuncias por explotación de los datos y suplantación de identidad.

Las autoridades de control consideran la ausencia de quejas y denuncias como un indicador importante en la decisión de archivar la investigación de una brecha de seguridad, incluso en el caso de que los datos hayan sido publicados.

| Caso | Datos comprometidos | Quejas o denuncias por suplantación de identidad |
|-----------------------------|---|--|
| OPM (EE.UU., 2015) | 5,6 millones de huellas dactilares | No constan |
| Biostar 2 (2019) | 27,8 millones de patrones biométricos dactilares y faciales | No constan |
| Aadhaar (India, 2023-24) | 815 millones de huellas dactilares | No constan Hubo fraudes cometidos con huellas clonadas de otros registros públicos, pero no directamente de este incidente. |
| Oracle Cloud (2025) | 6 millones de registros con identificadores biométricos | No constan |

Comparativa entre tres métodos de suplantación de identidad: riesgo percibido y riesgo real

En esta tabla pueden verse las diferencias entre tres métodos de suplantación de identidad. Puede apreciarse una gran discrepancia entre el riesgo percibido por el público en general y el riesgo real.

| Característica | Robo al responsable (Exfiltración BBDD) | Obtención en redes sociales (OSINT) | Ingeniería Social (Vishing/Phishing) |
|---|--|---|---|
| Origen del dato | Responsable del tratamiento | Redes sociales | La víctima |
| Naturaleza del dato | Plantilla matemática (Hash / Vector). | Imagen / Video | Datos suministrados por la víctima. |
| Estado técnico | Dato "muerto" (requiere ingeniería inversa). | Dato "vivo" (listo para procesar con IA). | Dato "en tiempo real" (máxima calidad). |
| Tasa de suplantación | 0% conocida. No hay denuncias. | Alta (~70%). Crecimiento exponencial. | Extrema (~95%). El usuario "da permiso". |
| Denuncias reales | 0 por suplantación (solo por privacidad). | Miles de denuncias (Deepfakes). | Millones de denuncias (Estafas). |
| Tipo de suplantación | Inyección de datos | Presentación | Presentación |
| Dificultad | Alta | Baja | Media |
| Escalabilidad | Baja (Múltiples barreras) | Muy alta (Se puede automatizar) | Individual (Muy laboriosa). |
| Uso de IA | Gran dificultad (Minimización de datos) | Clave. Permite crear Deepfakes. | Auxiliar. Mejora guiones y voces. |
| Interoperabilidad | Nula. El código robado no sirve en otro sistema. | Total. Una foto sirve para cualquier app. | Total. La víctima actúa en el sistema real. |
| Coste del ataque | Muy alto (hackear infraestructura). | Muy bajo (herramientas de IA gratis). | Variable (tiempo y manipulación). |
| Barreras de seguridad | Cifrado y algoritmos propietarios. | Ninguna. Datos publicados en RRSS. | La psicología y confianza humana. |
| Riesgo percibido por los usuarios y el público en general | Riesgo alto debido al desconocimiento | Riesgo bajo debido al desconocimiento | Riesgo bajo debido al desconocimiento |
| Riesgo real | Muy bajo o inexistente | Muy alto | Muy alto |

Dificultades de la suplantación a través del robo de datos

El proceso de suplantación de identidad basado en el robo y el uso de datos biométricos tiene las siguientes dificultades.

| | |
|---|---|
| Barreras de acceso | 1. Segmentación de red y separación de servidores. 2. Firewalls. 3. Autenticación y privilegios. |
| Barreras de salida | 1. Sistemas DLP. 2. Servidores Proxy y filtros de salida. 3. Datos señuelo. |
| Barrera de la irreversibilidad | 1. Hash o vector matemático. 2. Proceso unidireccional. 3. Es matemáticamente imposible reconstruir la cara. |
| Barrera de la incompatibilidad | 1. Cada fabricante utiliza su propio algoritmo. 2. Los datos no son compatibles con otros sistemas. |
| Barrera de la prueba de vida | 1. Los sistemas actuales no aceptan imágenes estáticas. 2. Los sensores buscan pruebas que demuestren que el usuario que desea autenticarse es un usuario vivo. 3. A partir del hash no pueden generarse pruebas de vida. |
| Barrera del cifrado | 1. Para usar un dato robado se debe inyectar el hash. 2. Los sistemas actuales rechazan los ataques de inyección. |
| Barrera de la inyección de datos | 1. Para usar un dato robado se debe inyectar el hash. 2. Los sistemas actuales rechazan los ataques de inyección |
| Barrera de la autenticación multifactor | 1. El dato biométrico va asociado a otro factor. 2. No puede haber autenticación 1:1 sin el otro factor. |
| Barrera de la caducidad | 1. El patrón biométrico puede ser cancelado o revocado. 2. En caso de robo se pueden invalidar todos los hashes. |
| Barrera de la minimización | 1. Los patrones utilizan el mínimo número de datos. 2. El detalle del patrón sería insuficiente para una reversión. |
| Barrera de la relación riesgo / recompensa | 1. El riesgo de robar los datos biométricos es muy alto. 2. La recompensa es baja ya que el patrón obtenido es inútil. |

Facilidad de la suplantación a través de una foto de redes sociales

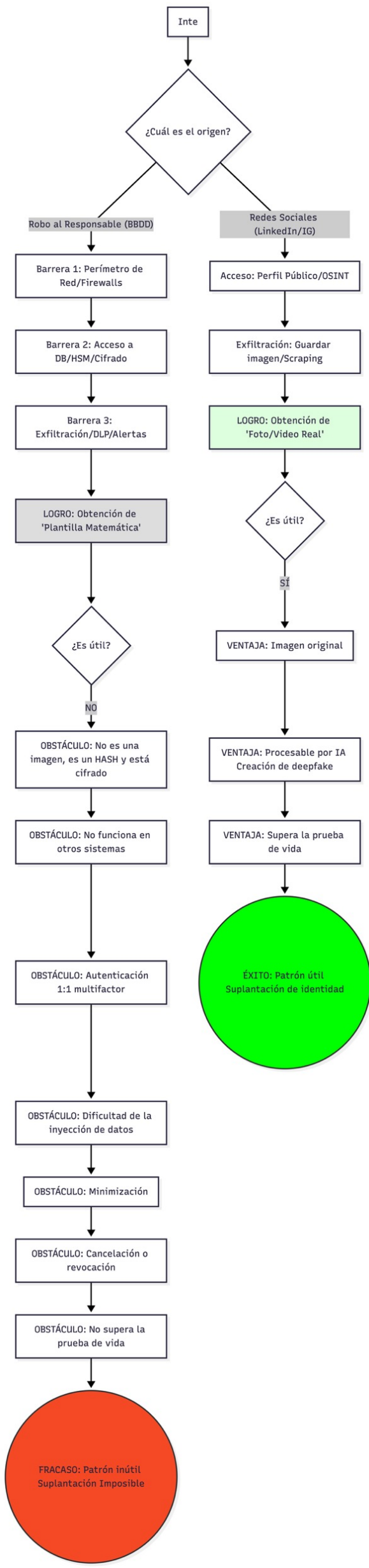
El proceso de suplantación de identidad basado en la obtención de los datos biométricos a través de una foto o un vídeo publicado en las redes sociales y utilizando IA para la suplantación es mucho más fácil.

| | |
|---|---|
| Barreras de acceso | 1. No hay barreras de acceso. 2. Cualquier usuario puede acceder a una foto o un vídeo. |
| Barreras de salida | 1. No hay barreras de salida. 2. Cualquier usuario puede descargar una foto o un vídeo. |
| Barrera de la irreversibilidad | 1. Esta barrera no existe. 2. No hay hash. |
| Barrera de la incompatibilidad | 1. Esta barrera no existe. 2. Los datos son totalmente compatibles. |
| Barrera de la prueba de vida | 1. La muestra biométrica obtenida es suficiente. 2. La IA actuar puede simular pruebas de vida. |
| Barrera del cifrado | 1. Esta barrera no existe. 2. Los datos no están cifrados. |
| Barrera de la inyección de datos | 1. No es necesario inyectar datos. 2. Se trata de un ataque de presentación. |
| Barrera de la autenticación multifactor | 1. El dato biométrico va asociado a otro factor. 2. No puede haber autenticación 1:1 sin el otro factor. |
| Barrera de la caducidad | 1. Esta barrera no existe. 2. Los datos no pueden ser cancelados ni revocados. |
| Barrera de la minimización | 1. Esta barrera no existe. 2. Los patrones utilizan el máximo número de datos. |
| Barrera de la relación riesgo / recompensa | 1. El riesgo de la obtención de los datos es muy bajo. 2. La recompensa es alta ya que el patrón obtenido es útil. |

Comparativa de barreras

En esta tabla se puede comprobar un contraste demoledor. Para el robo al responsable, el atacante debe ser un ingeniero experto enfrentándose a una fortaleza digital. Para la recolección en redes sociales, solo necesita ser un usuario medio con acceso a herramientas de IA comunes. Esto explica por qué las denuncias por suplantación desde redes sociales son masivas, mientras que desde bases de datos robadas son cero.

| Barrera | Robo de datos biométricos | Obtención en redes sociales |
|---|---|------------------------------------|
| Barrera de acceso | MUY ALTA | MUY BAJA |
| Barrera de salida | MUY ALTA | MUY BAJA |
| Barrera de la irreversibilidad | MUY ALTA | NO EXISTE |
| Barrera de la incompatibilidad | MUY ALTA | NO EXISTE |
| Barrera de la prueba de vida | MUY ALTA | BAJA |
| Barrera del cifrado | MUY ALTA | NO EXISTE |
| Barrera de la inyección de datos | MUY ALTA | NO ES NECESARIA |
| Barrera de la autenticación multifactor | ALTA | ALTA |
| Barrera de la caducidad | MUY ALTA | NO EXISTE |
| Barrera de la minimización | MUY ALTA | NO EXISTE |
| Barrera de la relación riesgo / recompensa | Riesgo muy alto Recompensa inexistente | Riesgo muy bajo Recompensa alta |



Comparativa de procesos

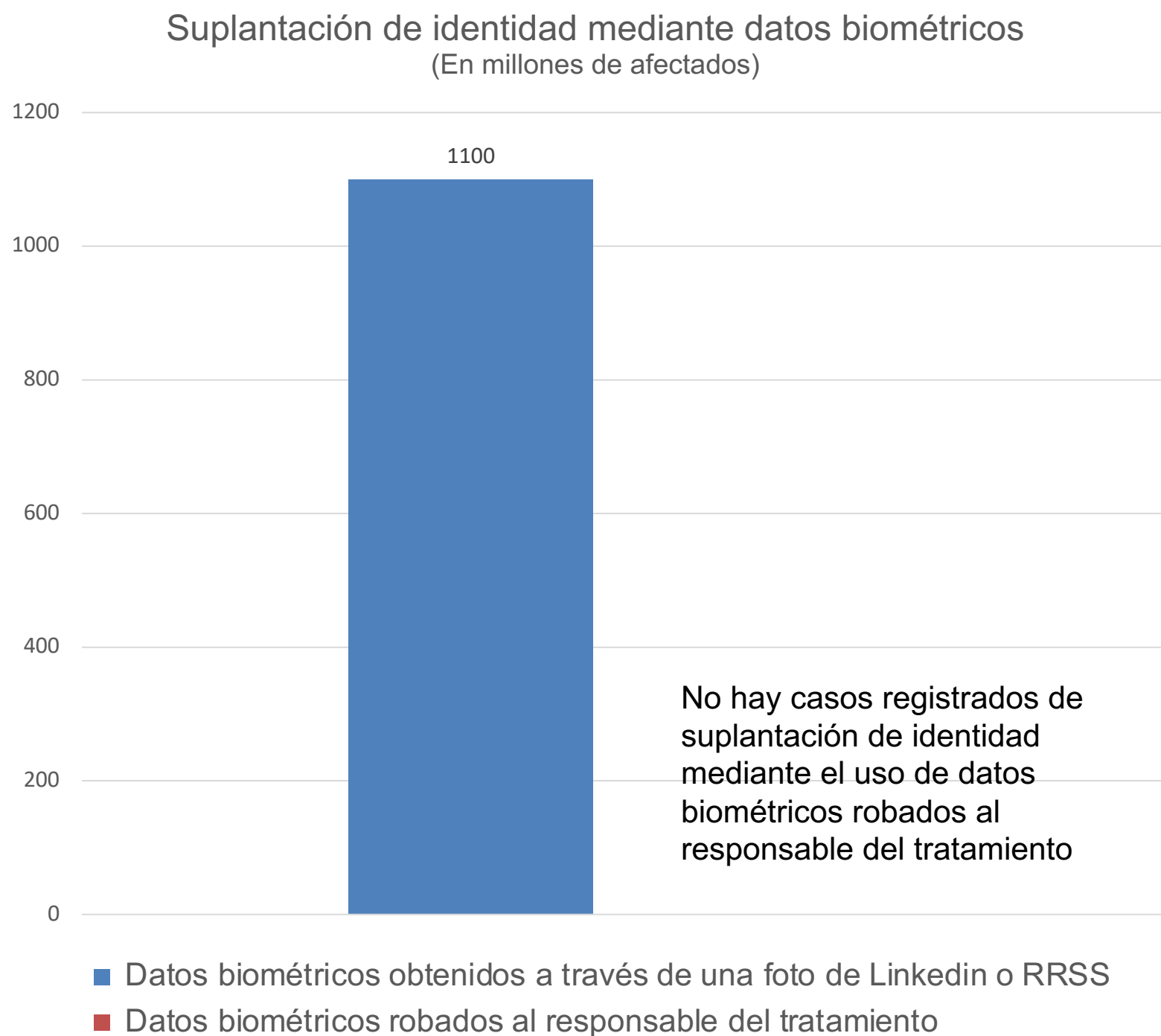
En este diagrama de flujo pueden verse los obstáculos que un experto va a encontrar en el camino a la suplantación de identidad a partir del robo de datos biométricos al responsable del tratamiento.

También puede verse el camino llano hacia el mismo objetivo a partir de la obtención de datos biométricos mediante una fotografía o un vídeo publicado por la víctima en LinkedIn o en una red social como Facebook o Instagram, utilizando herramientas gratuitas y sin necesidad de ser un experto.

Esto explica por qué las denuncias por suplantación desde redes sociales son masivas, mientras que desde bases de datos robadas son cero.

Casos de suplantación de identidad

En este gráfico puede verse que las estadísticas relativas a la suplantación de identidad mediante el uso de datos biométricos de la persona suplantada demuestran que el uso de datos robados es prácticamente inexistente.



Casos de suplantación de identidad a partir de datos biométricos robados o expuestos

La leyenda urbana en la que se sustentan los argumentos de las autoridades de control está basada en la creencia de que, si los datos biométricos que gestiona el responsable del tratamiento son robados o expuestos en una brecha de seguridad, el interesado podrá ser víctima de una suplantación de identidad. Según las estadísticas mundiales sobre la materia, esta creencia está infundada, ya que, de un total de más de 300 millones de personas afectadas por incidentes de seguridad relacionados con datos biométricos, ninguno de ellos ha presentado una queja o una denuncia.

Las autoridades de control consideran la ausencia de quejas y denuncias como un indicador importante en la decisión de archivar la investigación de una brecha de seguridad, incluso en el caso de que los datos hayan sido publicados.

**Más de 1.000 millones de
afectados**

vs.

Cero denuncias

ribas

Casos de suplantación de identidad a partir de datos biométricos obtenidos a través de fotos de redes sociales

Los datos relativos a este tipo de suplantaciones son relevantes:

1. Crecimiento del 3.000% de los ataques con deepfakes.
2. El 71% de los usuarios no sabe identificar un deepfake biométrico.
3. 1,4 millones de denuncias en EEUU según la FTC en el periodo 2024 -2025

La disponibilidad de imágenes en fuentes abiertas y la facilidad de obtener datos biométricos a través de ellas genera actualmente un riesgo de suplantación mucho probable, fácil y perjudicial que el robo de bases de datos almacenadas en los sistemas del responsable del tratamiento.

Caso Arup - Ataque mediante deepfake de IA

| | |
|------------------------------|--|
| Año | 2024 |
| Víctima | Filial en Hong Kong de Arup, empresa global de ingeniería con sede en Londres |
| Tipo de ataque | Suplantación de directivos mediante ataque de presentación con deepfake |
| Mecánica del ataque | <ol style="list-style-type: none">1. Videollamada con deepfake en tiempo real que suplantaba al CFO.2. En la videollamada participaban otros deepfake de directivos.3. El empleado creyó estar viendo al director financiero y autorizó los pagos. |
| Datos biométricos | Sí, obtenidos a partir de las fotos y vídeos del director financiero y otros. |
| Uso de sistema de IA | Sí, para crear un deepfake en tiempo real a partir de los datos biométricos. |
| Resultado | 15 transferencias que sumaron 25,6 millones de dólares |
| Origen de los datos | Fotos y vídeos de los directivos publicados en LinkedIn y en YouTube. |
| Dificultad del ataque | Muy baja: Herramientas de bajo coste + investigación en LinkedIn. |

Otros casos de obtención de datos biométricos a través de fotos de redes sociales

En esta tabla se resumen casos similares de obtención de datos biométricos a través de fotos publicadas en redes sociales.

| Caso | Metodología | Resultados |
|--------------|--|--|
| Clearview AI | Scraping masivo de imágenes en redes sociales. | Obtención de más de 30.000 millones de imágenes de redes sociales (LinkedIn, Facebook, Instagram) para entrenar algoritmos de reconocimiento facial. |
| KnowBe4 | El atacante utilizó fotos de alta calidad de una persona real encontradas en redes profesionales para construir su avatar digital clonado. | Una empresa de ciberseguridad contrató al avatar clonado por el atacante que usó una el deepfake en tiempo real durante la entrevista. |
| Caso Ana | Los atacantes utilizaron fotos frontales de sus perfiles públicos para superar las verificaciones biométricas sencillas de las operadoras (que solo pedían una foto estática o un parpadeo). | Suplantación de la identidad para contratar 11 líneas telefónicas con las que se realizaron múltiples estafas. |

Estadísticas sobre suplantación de identidad

En esta tabla se hace una breve referencia a los datos estadísticos disponibles para el periodo 2024 - 2025. En ninguno de ellos se han utilizado patrones biométricos robados al responsable del tratamiento.

| Metodología | Datos y denuncias |
|--|--|
| Deepfakes biométricos | Según Identity Fraud Report de 2025, los intentos de suplantación mediante deepfakes biométricos creados a partir de fotos y vídeos publicados en redes sociales ocurren a un ritmo de uno cada cinco minutos a nivel global. |
| Fotos de redes sociales | Según INCIBE, en 2024 se registraron 7.712 denuncias específicas de suplantación de identidad solo en el sector del juego online (Protocolo PACS). La mayoría de estas víctimas denunciaron que sus fotos de redes sociales o DNI escaneados en falsas ofertas de empleo fueron usados para crear cuentas. |
| DNI escaneados en falsas ofertas de empleo | El INCIBE reportó que un 14% de los internautas españoles sufrió algún tipo de suplantación de identidad digital en el último año, siendo la duplicación de perfil con fines fraudulentos, usando fotos de Instagram/LinkedIn la modalidad más denunciada. |
| | El reporte de Veriff 2025 indica que 1 de cada 20 intentos de verificación de identidad en el sector financiero ya es fraudulento, y el 40% de esos fraudes son ataques de presentación, mediante fotos o vídeos obtenidos de redes sociales. |
| | 1.4 millones de denuncias en EE.UU según la FTC relacionados con la suplantación de identidad con datos biométricos obtenidos a través de las fotos y los vídeo publicados en las redes sociales. |

Tasa de éxito

En la siguiente tabla puede verse una comparativa de la tasa de éxito de cada modalidad de ataque de obtención de datos y suplantación de identidad:

| Metodología | Tasa de éxito estimada | Razón del éxito o el fracaso |
|---|------------------------|--|
| Robo de datos biométricos al responsable del tratamiento. | Baja o inexistente | Las plantillas robadas suelen estar en formatos propietarios o hashes que no pueden reinyectarse fácilmente en otros sistemas. |
| Obtención de datos biométricos a través de fotos obtenidas en redes sociales. | Muy alta | Las fotos y videos descargados permiten crear deepfakes. En 2025, 1 de cada 20 rechazos en la verificación de identidad bancaria fue un deepfake realizado con IA. |
| Obtención de datos biométricos a través de videoconferencias. | Muy alta | La obtención de datos biométricos a través de videoconferencias permite crear avatares muy precisos. |

Ataque de inyección vs. ataque de presentación

No se han localizado evidencias de que un ataque de inyección de plantilla biométrica robada haya prosperado y haya escalado a un fraude masivo, mientras que los ataques de presentación de deepfake a partir de datos obtenidos en redes sociales causaron pérdidas millonarias documentadas en 2024 y 2025.

En esta tabla se pueden ver las diferencias entre ambos tipos de ataque.

| | | |
|--|--|---|
| Ataque de Inyección A partir del robo de datos biométricos al responsable del tratamiento | El atacante intenta introducir el código binario robado directamente en el flujo de datos del sistema. Es mucho más difícil que el ataque de presentación porque requiere una manipulación experta de la aplicación de destino, no solo tener el dato biométrico. Además, hay que superar un gran número de barreras técnicas, como hemos visto. | No se han reportado casos |
| Ataque de Presentación A partir de la obtención de los datos biométricos a través de fotos obtenidas en redes sociales | El atacante utiliza una foto de LinkedIn o de otras redes sociales, la anima con IA y la pone frente a la cámara del móvil. Es el método más común en los fraudes actuales. | Ha sido la técnica más utilizada y más letal en 2024 y 2025. Existen miles de casos documentados, además de los grandes casos corporativos comentados. |

Obtención de datos biométricos en entrevistas laborales falsas

La trampa biométrica basada en una entrevista laboral falsa es un método muy eficaz, que ha generado muchas denuncias en 2025. En este caso el atacante captura de forma directa los datos biométricos de la víctima.

La mecánica es la siguiente:

1. El atacante crea una falsa oferta de empleo en LinkedIn.
2. Durante la entrevista por videoconferencia, el atacante pide al usuario que realice movimientos faciales o escanee su DNI para validar su perfil.
3. Con esos datos vivos capturados directamente de la víctima y no robados de un servidor, el atacante abre cuentas bancarias o pide préstamos.

Los casos de suplantación reportados a causa de esta técnica son menos numerosos que los relacionados con la obtención de datos biométricos a través de fotos y vídeos publicados en redes sociales, como puede verse en esta tabla.

| Origen de los datos biométricos | Casos de suplantación reportados |
|---|----------------------------------|
| Robo de los datos biométricos al responsable del tratamiento. | 0 |
| Obtención de datos biométricos a través de fotos y vídeos publicados en redes sociales. | Miles - Crecimiento del 3.000% |
| Entrevistas laborales falsas. | Más de 35 |

Irreversibilidad

En la resolución de la AEPD en el caso de AENA se menciona el riesgo de reversión no autorizada de los datos biométricos que permita la reidentificación del interesado aparece como un atributo que AENA considera acreditado y propio de la inmensa mayoría de los sistemas biométricos del mercado.

La capacidad de los sistemas biométricos de evitar la reversión de los datos biométricos y la reidentificación del interesado no es una materia controvertida en la resolución.

Los responsables del tratamiento no guardan imágenes de la huella dactilar o de la cara, sino representaciones matemáticas. Reconstruir una cara física a partir de un código binario robado es actualmente una imposibilidad técnica para la mayoría de los sistemas comerciales.

Cifrado

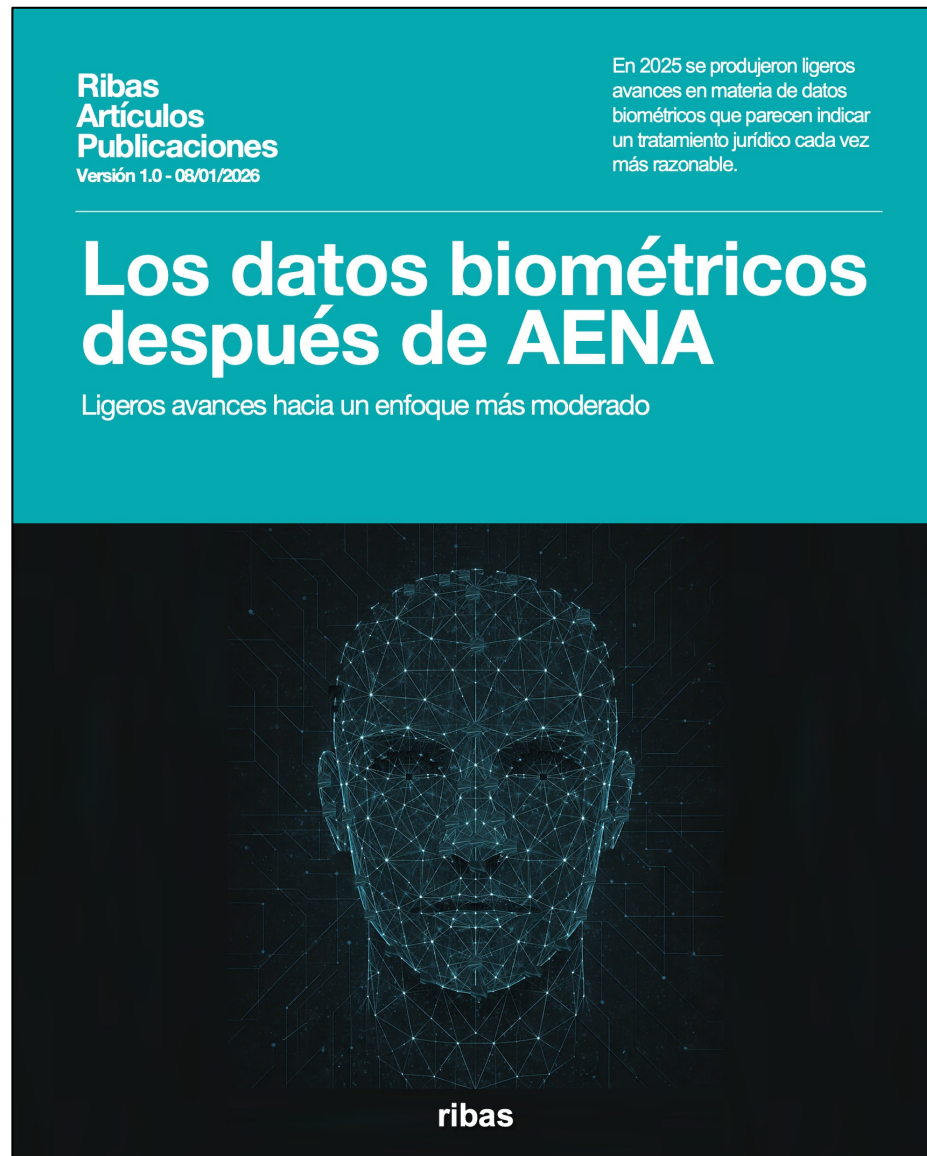
En conexión con la prevención del riesgo de reversión y reidentificación en la resolución de la AEPD en el caso de AENA en la EIPD también se considera acreditado la existencia del cifrado.

La existencia y la idoneidad del cifrado no es una materia controvertida en la resolución.

Incompatibilidad

Cada fabricante utiliza un algoritmo propietario y una configuración de hash diferente para cada cliente, por lo que un patrón biométrico robado de la base de datos de una empresa no sirve para entrar en el sistema de otra empresa.

Informe completo



Accede al informe completo en este enlace:

<https://lnkd.in/eE2MaMJX>

Datos de contacto

| | |
|----------------------------|---|
| Nombre del despacho | Ribas |
| Domicilio | Diagonal 640 1C - 08017 Barcelona |
| Persona de contacto | Xavier Ribas |
| Correo electrónico | xavier.ribas@ribastic.com |
| Teléfono fijo | 934940748 |
| Teléfono móvil | 639108413 |
| LinkedIn | https://www.linkedin.com/in/javierribas/ |
| Web | http://ribas.legal |
| Blog | http://xribas.com |